

## 1. はじめに

沖積河道の特徴はその蛇行性、Bars の存在にあると言って良い。この Bars の動き変動性を河道計画面の中にどう位置づけるかは、河川計画論の基本問題である。近年において、計画計画量の改訂に伴う河道底削や、骨材不足に伴う河川砂利のみよおしという気運が強くなり、筆者の職場でもこれらに関する模型実験の依頼が多くなり、新たに各河道法線形をどうするかが問題となってきた。上述の問題に対する回答では、河道に対する考え方や、河道にどれだけの投資するかで変わるもので、一概にどの法線形にするべきであるとは言えず、個々の河川ごとに実践的に解決していくしかあるまい。ここでは、これらの問題に対する基本となる沖積河道の実体面について二、三ふれたい。

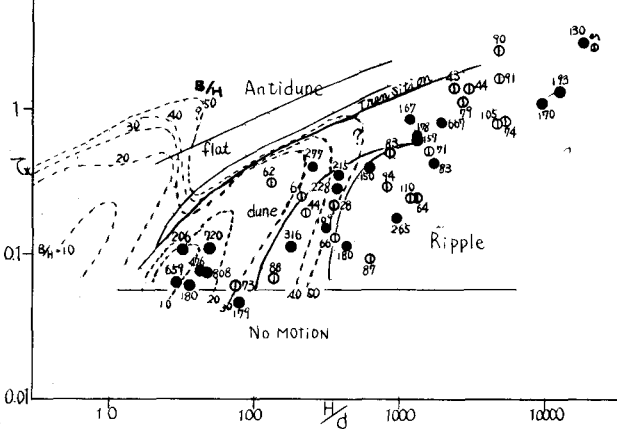
## 2. Bars の発生領域

話しあを単純化するために直線河道の場合について考えていこう。このような流れの場の状態量入を決める要因をひろい出すと、流体の特性  $P$ 、リ、底質の特性  $P_s$ 、 $d$ 、 $\sigma$ 、流れの構造  $U_x$ 、 $H$ 、水路の特性  $B$ 、場の特性  $s$  である。ここで  $P_s$  は底質材料の標準偏差である。混合粒径河床の場合、粒度分布形そのものの factor であるが、ここでは  $s$  で代表しておく。次元解析より

$$\pi_x = f(U_x d / \sigma, U_x^2 / s g d, H/d, B/H, s, d/\sigma) \quad \dots \dots \dots (1)$$

となる。 $U_x d / \sigma$  の効果があまり無いと考えられる  $d > 0.02 \text{ cm}$  以上の内外の資料を(1)式によって整理して図1となる。図中の黒線は  $B/H < 10$  以下の小規模河床波の領域区分を示したものであり、点線は Bars の発生域である。これによると  $B/H$  が大きくなるほど Bars の発生域が増していく。 $B/H$  が 40 より大きいと、実験室の資料が無いため中規模砂州形態の発生限界を示すことができないが、その領域は広がっていくものと思われる。  $B/H$  が大きく  $B/H$  の大きな場合は、実験が困難なので、実河川より求める必要がある。そこで沖積層を流れる一般河川の河床を調べてみた。(解析の対象としたのは、ほとんどが河口近くである) 河床は平面図、横断図、航空写真より判断し、疑問のあるものは、直接担当工事事務所に聞いてみた。河床としては、蛇行 (Alternative Bar) と二列以上の Bars (複列) の存在する河川に分けた。なお  $B/H$  が非常に大きい河川では Alternative Bar と Lower Regime が共存し、Bar の前面の勾配も緩く、矩形的な Bar 形状と多少異なるが、その発生原因は同一と考えられるので Bar とみなして。次に中規模河床形態を作った流量  $Q$  とくらいだ本問題によるが、本解析では年一回洪水流量を取った。さて、 $H/d$  は、河床勾配と粗度より等流水深を求め、これは  $0.1$  にて  $* H/d$  を求めた。  $B$  は洪水時川幅とし  $K$ 。図1はその結果であるが、これによると  $B/H$  が 100 以上では、 $* H/d$  により下限はほぼ二列以上の Bars が存在している。また蛇行の発生域

図1 実河川の河床形態  
年一回洪水に対する  $* H/d$   
●二列以上の Bar  
領域区分は  $0 < B/H < 10$  を使う



は、実験室内の範囲より広いようだ。たゞ実河川の場合、直線河道でないので、蛇行 (Bends) を発生せしめる擾乱要因が多いこと、河道形状を作り、水流量が同一回位の渇水かどうかの問題が残る。

そこで年一回の洪水は、河道に対してどのような流量であるかの検討の一環として、河道の平均粒径と年一回に対応する洪水の $U_{50}^2$ との関係を調べてみた。その結果が図2で、 $d > 1\text{cm}$ 以上では河床の粒径は、年一回の洪水で動く限界粒径より多く大きいくらいである。しかし粒径が細くなると、 $d = 1\text{cm}$ から2に近づくと逆転する。このことは粒径の細かい河川では、一つの洪水で、種々の河床形態を持てることを意味し、中規模河床形態も、どの流量で生じたかが明確でなく、図1の寒河川の資料は参考程度にとどめるべきであろう。

### 3. Barsのスケール

実験室内の資料の Bars のスケールを整理してみると、Alternative Bar 長 L<sub>S</sub> および、Bar 高 H<sub>S</sub> は

$$L_s/B = 2 \sim 10, \quad H_s/L_s = 0.01 \sim 0.03 \text{ の間で点打ち込み}$$

$B/H$ ,  $H_d$ ,  $L_s$ との有意な差は明確でない。この結果は、 $L_s$ が0.5,  $H_d$ が50以下の場合であるが、 $L_s$ が大きくなるほど大きい場合はどうなるのであろうか、二、三の例を示してみよう。 $L_s$ が根 $\sim 1200\text{m}$ ,  $B = 360\text{m}$  ii) Danow<sup>11)</sup>, 20~30Km地点  $H_s = 7\sim 8\text{m}$  地点  $H_s = 5\sim 6\text{m}$ ,  $L_s = 1000\text{m}$ ,  $B = 350\text{m}$ , ii) iii) の河床材料があると、 $L_s$ は  $H_d$ が小さい場合と同程度であり、 $H_s$ は  $H_d$ が小さいほど  $L_s$ は  $H_d$ が大きい場合も  $H_s$ ,  $L_s$ は  $B$ に比例したスケールになるだろう。 $2L_s$ になると  $L_s$ が分かれている。図3は航行長と川幅  $B$ の関係を示す。左の  $L_s$ に対応して長さにはまってくる。以上のように  $H_s$ ,  $L_s$ はほぼ

この変動幅を水理量の変化によって説明しようとしてもあまり成功する見込みはないと思われる。むしろこの変動幅:を Bars の特性として把握する立場に工学的に立べきであろう。(流砂量の非平衡性や、擾乱因の発生速度が、 $H_s$ 、 $L_s$  に影響を及ぼすようだ。 $H_s$ 、 $L_s$  は流量増によって大きくなるという実験結果と、短くなるという実験結果があり、これは輸砂との関連があるようと思える。)

#### 4. 模型実験上の Bars と実河川の対応

模型実験を行なう場合、式を同一とすれば良い。このようした条件を満足した大手取川河口の模型（0~4.2 km）実験（縮尺 1/60、模型河床材料  $d_m = 0.1\text{cm}$  で粒度分布は、ほぼ現地と同じ）の場合、現地の網状 Bars を模型の上で再現でき、 $L_s$ 、 $H_s$  および粒度の相似性も満足いくものであった。以前当所で行なった信濃川模型の場合には平均粒径の相似性を含めさせて、粒度分布形は模型の場合均一粒径 ( $d = 0.023\text{cm}$ ) であるので、移動が発生し、粒度を含めて種々の問題が残る。そこで逆流や Bars 長は水路の幅  $B$  によってほぼ決まる、というより、粒度を含めると多少歪や、粒径の相似を含めなくとも、深堀部を含めること本可能であろう。事実利根川の実験（延長 2、模型粒径、石炭粉  $d_m = 0.02\text{cm}$ 、現地 0.02 cm）では、深堀部の位置が平行してある。もちろん初期河床形によって流れの特性が支配されていながら、長時間後遊水現象には多少不安は残る。

5. あとがき 本解説するにあたって参考文献を便へて、特に木下氏の論文には多くの点で教わらねることが多い。紙数の関係で参考文献名を上げられないが、木下、後に資料集として発表して貰っている。

